



Projeto a partir de...

Matriz de...

Discretização de...

Controlabilidade e...

Princípio da Separação

Problema de...

Sistemas com...

Atrasos

Homepage

Página de Rosto



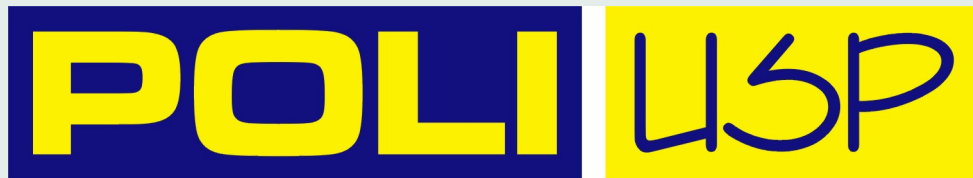
Página 1 de 63

Voltar

Full Screen

Fechar

Desistir



PTC5611 - Controle Digital de Sistemas Dinâmicos

Cap. 9: Controle Digital por Variáveis de Estado

Prof. Bruno Augusto Angélico

2021



Capítulo 9 - Controle Digital por Variáveis de Estado

As técnicas utilizadas em sistemas em tempo contínuo são diretamente empregadas em sistemas de controle digital.

Projeto a partir de...

Matriz de...

Discretização de...

Controlabilidade e...

Princípio da Separação

Problema de...

Sistemas com...

Atrasos

Homepage

Página de Rosto



Página 2 de 63

Voltar

Full Screen

Fechar

Desistir



1. Projeto a partir de Controladores Contínuos

- Sistema LIT em tempo contínuo:

$$\dot{\mathbf{x}}(t) = \mathbf{A}\mathbf{x}(t) + \mathbf{B}\mathbf{u}(t) \quad (1)$$

$$\mathbf{y}(t) = \mathbf{C}\mathbf{x}(t) + \mathbf{D}\mathbf{u}(t) \quad (2)$$

- Sistema LIT em tempo discreto:

$$\mathbf{x}[n + 1] = \mathbf{\Phi}\mathbf{x}[n] + \mathbf{\Gamma}\mathbf{u}[n] \quad (3)$$

$$\mathbf{y}[n] = \mathbf{C}\mathbf{x}[n] + \mathbf{D}\mathbf{u}[n], \quad (4)$$

[Homepage](#)[Página de Rosto](#)[Página 3 de 63](#)[Voltar](#)[Full Screen](#)[Fechar](#)[Desistir](#)



Projeto a partir de...

Matriz de...

Discretização de...

Controlabilidade e...

Princípio da Separação

Problema de...

Sistemas com...

Atrasos

Homepage

Página de Rosto



Página 4 de 63

Voltar

Full Screen

Fechar

Desistir

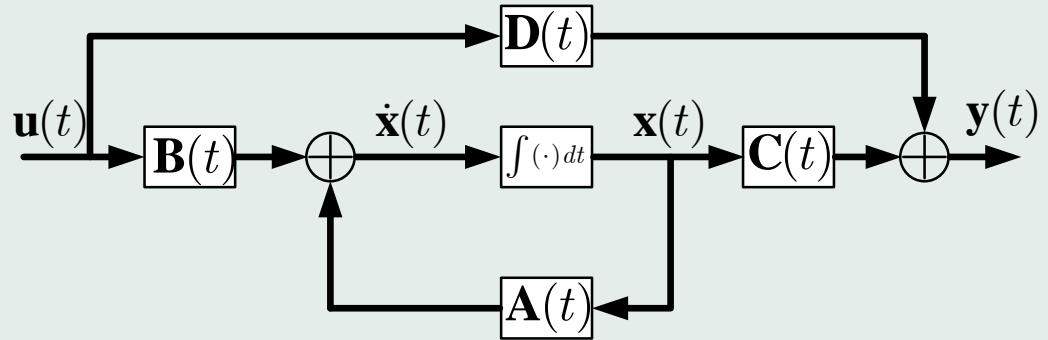


Figure 1: Diagrama de blocos de um sistema linear de tempo contínuo representado no espaço de estados.



Projeto a partir de...

Matriz de...

Discretização de...

Controlabilidade e...

Princípio da Separação

Problema de...

Sistemas com...

Atrasos

Homepage

Página de Rosto



Página 5 de 63

Voltar

Full Screen

Fechar

Desistir

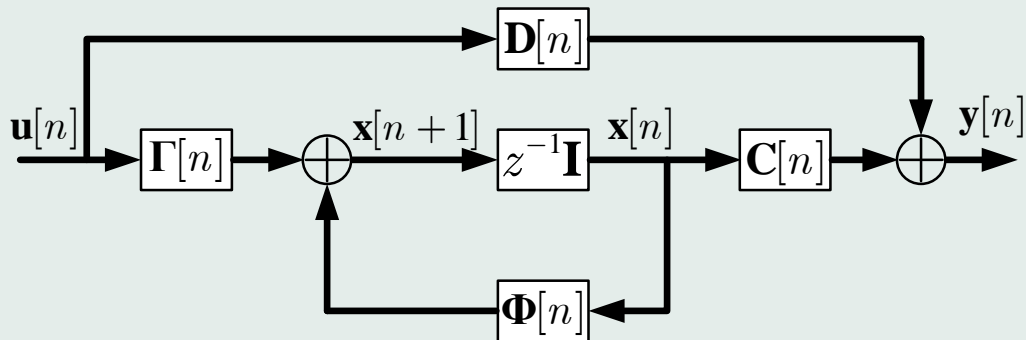


Figure 2: Diagrama de blocos de um sistema linear de tempo discreto representado no espaço de estados.



2. Matriz de Transferência Discreta

$$\mathbf{x}[n + 1] = \mathbf{\Phi}\mathbf{x}[n] + \mathbf{\Gamma}\mathbf{u}[n] \quad (5)$$

$$\mathbf{y}[n] = \mathbf{C}\mathbf{x}[n] + \mathbf{D}\mathbf{u}[n], \quad (6)$$

com $\mathbf{x}[n]$ sendo um vetor de k elementos, $\mathbf{y}[n]$ um vetor de m elementos, $\mathbf{\Phi}$ uma matriz $k \times k$, $\mathbf{\Gamma}$ uma matriz $k \times r$, \mathbf{C} uma matriz $m \times k$ e \mathbf{D} uma matriz $m \times r$. Aplicando a transformada- z :

$$z\mathbf{X}(z) = \mathbf{\Phi}\mathbf{X}(z) + \mathbf{\Gamma}\mathbf{U}(z) \quad (7)$$

$$\mathbf{y}(z) = \mathbf{C}\mathbf{X}(z) + \mathbf{D}\mathbf{U}(z), \quad (8)$$

Isolando $\mathbf{X}(z)$ em (10) e substituindo em (11), chega-se em:

$$\mathbf{Y}(z) = [\mathbf{C}(z\mathbf{I} - \mathbf{\Phi})^{-1}\mathbf{\Gamma} + \mathbf{D}] \mathbf{U}(z). \quad (9)$$

Logo,

$$\mathbf{G}(z) = [\mathbf{C}(z\mathbf{I} - \mathbf{\Phi})^{-1}\mathbf{\Gamma} + \mathbf{D}] \quad (10)$$

[Projeto a partir de...](#)[Matriz de...](#)[Discretização de...](#)[Controlabilidade e...](#)[Princípio da Separação](#)[Problema de...](#)[Sistemas com...](#)[Atrasos](#)[Homepage](#)[Página de Rosto](#)[◀](#)[▶](#)[◀](#)[▶](#)[Página 6 de 63](#)[Voltar](#)[Full Screen](#)[Fechar](#)[Desistir](#)



A matriz $\mathbf{G}(z)$, de dimensão $(m \times r)$ é conhecida como matriz de transferência discreta e caracteriza a dinâmica de entrada-saída do sistema em tempo discreto modelado em (15)-(16).

Como

$$(z\mathbf{I} - \Phi)^{-1} = \frac{\text{adj}(z\mathbf{I} - \Phi)}{|z\mathbf{I} - \Phi|} \quad (11)$$

com $\text{adj}(\mathbf{M})$ sendo a matriz adjunta da matriz \mathbf{M} ¹.

$$\mathbf{G}(z) = \frac{\mathbf{C} \text{adj}(z\mathbf{I} - \Phi) \Gamma}{|z\mathbf{I} - \Phi|} + \mathbf{D} \quad (12)$$

Observa-se que os polos de $\mathbf{G}(z)$ são os autovalores de Φ .

¹A matriz adjunta de uma matriz quadrada \mathbf{M} é a transposta da matriz que se obtém substituindo-se cada termo $\mathbf{M}_{i,j}$ pelo determinante da matriz obtida retirando-se a i -ésima linha e a j -ésima coluna de \mathbf{M} , multiplicado por $(-1)^{i+j}$

[Homepage](#)[Página de Rosto](#)[Página 7 de 63](#)[Voltar](#)[Full Screen](#)[Fechar](#)[Desistir](#)



3. Discretização de Equações de Estado Contínuas

Projeto a partir de...

Matriz de...

Discretização de...

Controlabilidade e...

Princípio da Separação

Problema de...

Sistemas com...

Atrasos

Homepage

Página de Rosto



Página 8 de 63

Voltar

Full Screen

Fechar

Desistir

$$\dot{\mathbf{x}}(t) = \mathbf{A}\mathbf{x}(t) + \mathbf{B}\mathbf{u}(t) \quad (13)$$

$$\mathbf{y}(t) = \mathbf{C}\mathbf{x}(t) + \mathbf{D}\mathbf{u}(t) \quad (14)$$

$$\mathbf{x}[n+1] = \mathbf{\Phi}\mathbf{x}[n] + \mathbf{\Gamma}\mathbf{u}[n] \quad (15)$$

$$\mathbf{y}[n] = \mathbf{C}\mathbf{x}[n] + \mathbf{D}\mathbf{u}[n], \quad (16)$$

$$\mathbf{\Phi} = e^{\mathbf{A}T_s}, \quad \mathbf{\Gamma} = \int_0^{T_s} e^{\mathbf{A}\eta} d\eta \mathbf{B}$$

No MATLAB, o comando `c2d` pode ser utilizado para encontrar a representação discreta, da seguinte forma: `[Phi, Gamma] = c2d(A, B, Ts)`.



4. Controlabilidade e Observabilidade

Os conceitos de controlabilidade e observabilidade foram introduzidos por Kalman e possuem um papel importante no projeto de sistemas de controle no espaço de estados.

- **Controlabilidade:**

$$\mathbf{x}[n+1] = \mathbf{\Phi}\mathbf{x}[n] + \mathbf{\Gamma}u[n], \quad (17)$$

$\mathbf{x}[n]$: vetor de estado (k elementos);

$\mathbf{u}[n]$: vetor de entrada (r elementos);

$\mathbf{\Phi}$: matriz $k \times k$;

$\mathbf{\Gamma}$: matriz $k \times r$;

$$\mathbf{C} = [\mathbf{\Gamma} \mid \mathbf{\Phi}\mathbf{\Gamma} \mid \dots \mid \mathbf{\Phi}^{k-1}\mathbf{\Gamma}], \quad (18)$$

Projeto a partir de...

Matriz de...

Discretização de...

Controlabilidade e...

Princípio da Separação

Problema de...

Sistemas com...

Atrasos

Homepage

Página de Rosto



Página 9 de 63

Voltar

Full Screen

Fechar

Desistir



Para que o sistema seja totalmente controlável, \mathbf{C} deve possuir posto (*rank*) k . Tal matriz é denominada **matriz de controlabilidade**.

- Observabilidade:

$$\mathbf{x}[n + 1] = \mathbf{\Phi}\mathbf{x}[n] \quad (19)$$

$$\mathbf{y}[n] = \mathbf{C}\mathbf{x}[n] \quad (20)$$

onde

$\mathbf{x}[n]$: vetor de estado (k elementos);

$\mathbf{y}[n]$: vetor de saída (m elementos);

$\mathbf{\Phi}$: matriz $k \times k$;

\mathbf{C} : matriz $m \times k$;

Projeto a partir de...

Matriz de...

Discretização de...

Controlabilidade e...

Princípio da Separação

Problema de...

Sistemas com...

Atrasos

Homepage

Página de Rosto



Página 10 de 63

Voltar

Full Screen

Fechar

Desistir



Para um sistema ser completamente observável, a matriz $km \times k$

$$\mathcal{O} = \begin{bmatrix} \mathbf{C} \\ \hline \mathbf{C}\mathbf{G} \\ \hline \vdots \\ \hline \mathbf{C}\mathbf{G}^{k-1} \end{bmatrix}, \quad (21)$$

deve possuir posto k .

4.1. Controle por Realimentação de Estados

$$\begin{aligned} \mathbf{x}[n+1] &= \mathbf{\Phi}\mathbf{x}[n] + \mathbf{\Gamma}\mathbf{u}[n] \\ \mathbf{y}[n] &= \mathbf{C}\mathbf{x}[n] \end{aligned} \quad (22)$$

Se o sistema for controlável, é possível determinar uma matriz de ganhos $\mathbf{K} \in \mathbb{R}^{r,k}$ de realimentação de estados, tal que a lei de controle $\mathbf{u} = -\mathbf{K}\mathbf{x}$, garanta alocação arbitrária dos polos do

Projeto a partir de...

Matriz de...

Discretização de...

Controlabilidade e...

Princípio da Separação

Problema de...

Sistemas com...

Atrasos

Homepage

Página de Rosto

◀

▶

◀

▶

Página 11 de 63

Voltar

Full Screen

Fechar

Desistir



sistema em malha fechada.

$$\mathbf{x}[n + 1] = \Phi \mathbf{x}[n] - \Gamma \mathbf{K}_c \mathbf{x}[n] \quad (23)$$

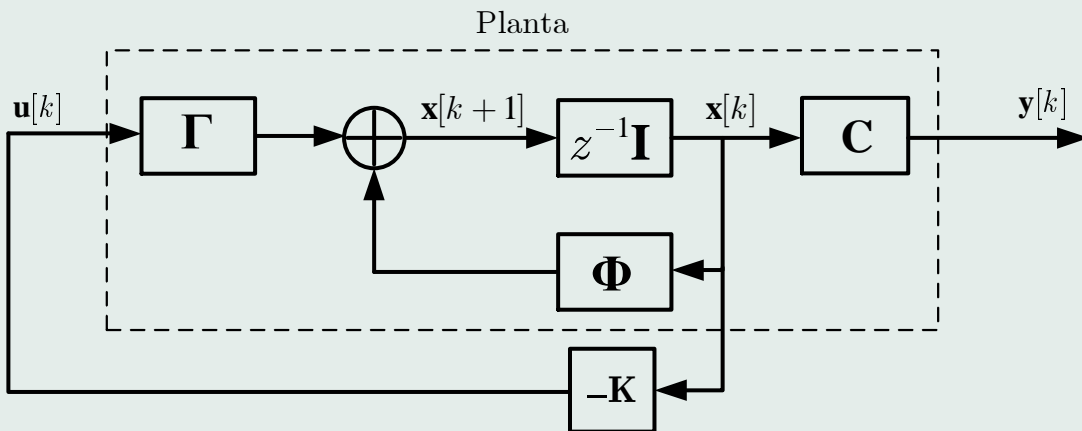


Figure 3: Diagrama do sistema com realimentação de estados.

A equação característica do sistema descrito em (23) é dada

[Homepage](#)[Página de Rosto](#)[◀](#)[▶](#)[◀](#)[▶](#)[Página 12 de 63](#)[Voltar](#)[Full Screen](#)[Fechar](#)[Desistir](#)



por

$$\det(z\mathbf{I} - \mathbf{\Phi} + \mathbf{\Gamma}\mathbf{K}) = 0 \quad (24)$$

Se que a posição desejada dos polos de malha fechada é conhecida, tal que

$$p_c(z) = (z - p_1) \cdot (z - p_2) \cdots (z - p_k), \quad (25)$$

e se o par $(\mathbf{\Phi}, \mathbf{\Gamma})$ for completamente controlável, então existe \mathbf{K} , tal que

$$\det(z\mathbf{I} - \mathbf{\Phi} + \mathbf{\Gamma}\mathbf{K}) = p_c(z)$$

para qualquer polinômio $p_c(z)$ de grau k especificado.

No MATLAB:

- **acker**: apresenta resultado satisfatório para sistemas de ordem menor ou igual a 10. É capaz de alocar polos com multiplicidade. Não se aplica a sistemas MIMO. Sintaxe:
 $\mathbf{K}_c = \text{acker}(\mathbf{\Phi}, \mathbf{\Gamma}, p_c).$

Projeto a partir de...

Matriz de...

Discretização de...

Controlabilidade e...

Princípio da Separação

Problema de...

Sistemas com...

Atrasos

Homepage

Página de Rosto



Página 13 de 63

Voltar

Full Screen

Fechar

Desistir



- `place`: pode ser utilizado satisfatoriamente para sistemas MIMO, como a mesma sintaxe do comando `acker`. No entanto, não é capaz de alocar polos com multiplicidade maior do que o posto de $\mathbf{\Gamma}$.

4.2. Projeto de Observadores

Na impossibilidade de realimentar os estados reais, a ideia é fazer $u = -\mathbf{K}\hat{\mathbf{x}}$. Considere novamente a seguinte representação

$$\begin{aligned}\mathbf{x}[n + 1] &= \mathbf{\Phi}\mathbf{x}[n] + \mathbf{\Gamma}u[n] \\ \mathbf{y} &= \mathbf{C}\mathbf{x}[n]\end{aligned}\quad (26)$$

Note que na Figura 4 o estimador não está utilizando qualquer medida do sistema real, o que pode fazer com que a estimativa divirja do valor desejado. Para corrigir o erro de estimação, pode-se utilizar uma realimentação deste erro, como mostrado na Figura

Projeto a partir de ...

Matriz de ...

Discretização de ...

Controlabilidade e ...

Princípio da Separação

Problema de ...

Sistemas com ...

Atrasos

Homepage

Página de Rosto

◀

▶

◀

▶

Página 14 de 63

Voltar

Full Screen

Fechar

Desistir

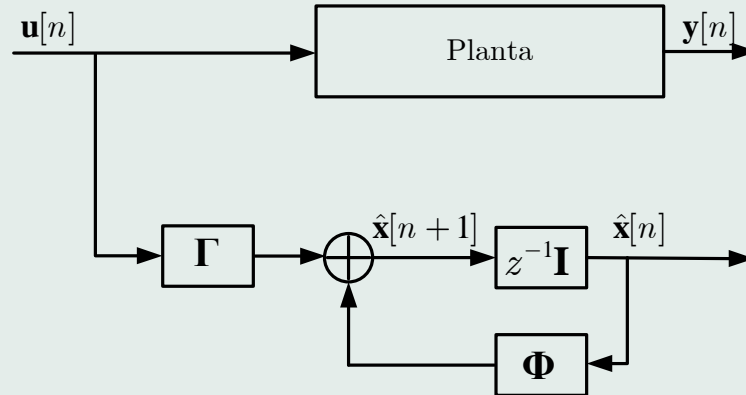


Figure 4: Diagrama do estimador em malha aberta.

5, onde $\mathbf{L} \in \mathbb{R}^{k,m}$.

E equação do estimador é dada por:

$$\begin{aligned}\hat{\mathbf{x}}[n+1] &= \mathbf{\Phi}\hat{\mathbf{x}}[n] + \mathbf{\Gamma}u[n] + \mathbf{L}(y[n] - \hat{y}[n]) \\ &= \mathbf{\Phi}\hat{\mathbf{x}}[n] + \mathbf{\Gamma}u[n] + \mathbf{L}\mathbf{C}(\mathbf{x}[n] - \hat{\mathbf{x}}[n])\end{aligned}\tag{27}$$

Ao definir $\tilde{\mathbf{x}}[n] = \mathbf{x}[n] - \hat{\mathbf{x}}[n]$, tem-se



Projeto a partir de...

Matriz de...

Discretização de...

Controlabilidade e...

Princípio da Separação

Problema de...

Sistemas com...

Atrasos

Homepage

Página de Rosto



Página 16 de 63

Voltar

Full Screen

Fechar

Desistir

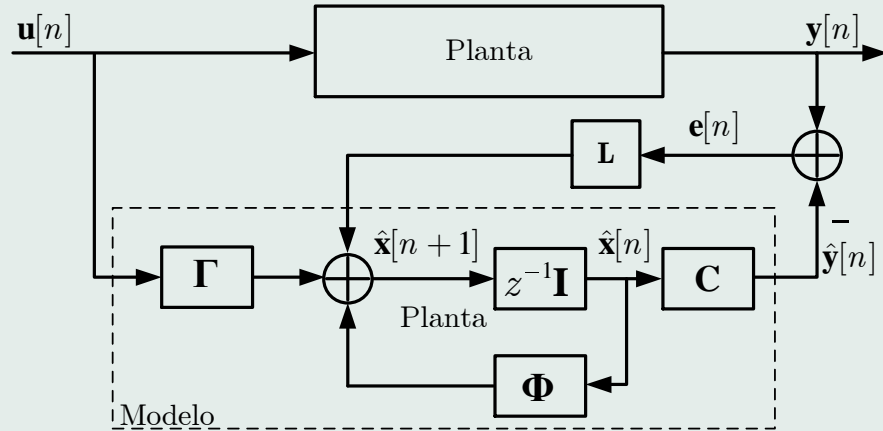


Figure 5: Diagrama do estimador de predição em malha fechada.



Projeto a partir de...

Matriz de...

Discretização de...

Controlabilidade e...

Princípio da Separação

Problema de...

Sistemas com...

Atrasos

Homepage

Página de Rosto



Página 17 de 63

Voltar

Full Screen

Fechar

Desistir

$$\begin{aligned}\tilde{\mathbf{x}}[n+1] &= \mathbf{x}[n+1] - \hat{\mathbf{x}}[n+1] = \Phi(\mathbf{x}[n] - \hat{\mathbf{x}}[n]) - \mathbf{LC}\tilde{\mathbf{x}}[n] \\ &= (\Phi - \mathbf{LC})\tilde{\mathbf{x}}[n]\end{aligned}\quad (28)$$

- Se o sistema for completamente observável, pode-se dar a $\tilde{\mathbf{x}}[n]$ o desempenho desejado.
- Note que o erro de estimação depende dos autovalores de $(\Phi - \mathbf{LC})$.
- **Estimador Assintótico de Estados:** Se estes autovalores são estáveis, o erro tende a zero assintoticamente.
- Os polos do observador devem possuir dinâmica mais rápida que os do sistema de controle em malha fechada.

Se o sistema for completamente observável, então existe \mathbf{L} , tal que

$$\det(z\mathbf{I} - \Phi + \mathbf{LC}) = p_o(z)$$



para qualquer polinômio $p_o(z)$ de grau n especificado.

Note que o projeto do observador consiste em resolver o problema de alocação de polos para o sistema

$$\mathbf{z}[n + 1] = \mathbf{\Phi}^\top \mathbf{z}[n] + \mathbf{C}^\top V[n] \quad (29)$$

pois os autovalores de $(\mathbf{\Phi}^\top - \mathbf{C}^\top \mathbf{L}^\top)$ são os mesmos de $(\mathbf{\Phi} - \mathbf{L}\mathbf{C})$.

No MATLAB: $\mathbf{L} = \text{place}(\mathbf{\Phi}', \mathbf{C}', \mathbf{p}_o)'$, sendo $\mathbf{\Phi}$, \mathbf{C} as matrizes de estado e de saída, e \mathbf{p}_o o vetor com a posição dos polos desejada.

4.2.1. Estimador de Ordem Reduzida

Considere que \mathbf{x}_b (m elementos) representa parte do vetor de estados medida diretamente na saída, e \mathbf{x}_a ($k - m$ elementos) a parcela a ser estimada.

Projeto a partir de...

Matriz de...

Discretização de...

Controlabilidade e...

Princípio da Separação

Problema de...

Sistemas com...

Atrasos

Homepage

Página de Rosto

◀

▶

◀

▶

Página 18 de 63

Voltar

Full Screen

Fechar

Desistir



$$\begin{bmatrix} \mathbf{x}_a[n+1] \\ \mathbf{x}_b[n+1] \end{bmatrix} = \begin{bmatrix} \Phi_{aa} & \Phi_{ab} \\ \Phi_{ba} & \Phi_{bb} \end{bmatrix} \begin{bmatrix} \mathbf{x}_a[n] \\ \mathbf{x}_b[n] \end{bmatrix} + \begin{bmatrix} \Gamma_a \\ \Gamma_b \end{bmatrix} \mathbf{u}[n]$$
$$\mathbf{y}[n] = \begin{bmatrix} \mathbf{0} & \mathbf{I} \end{bmatrix} \begin{bmatrix} \mathbf{x}_a[n] \\ \mathbf{x}_b[n] \end{bmatrix} \quad (30)$$

A dinâmica da parcela não medida é dada por

$$\mathbf{x}_a[n+1] = \Phi_{aa}\mathbf{x}_a[n] + \underbrace{\Phi_{ab}\mathbf{x}_b[n] + \Gamma_a\mathbf{u}[n]}_{\text{entrada equivalente}} \quad (31)$$

Já para a parcela medida, tem-se

$$\mathbf{x}_b[n+1] = \Phi_{bb}\mathbf{x}_b[n] + \Phi_{ba}\mathbf{x}_a[n] + \Gamma_b\mathbf{u}[n], \quad (32)$$

que pode ser rearranjada como

$$\underbrace{\mathbf{x}_b[n+1] - \Phi_{bb}\mathbf{x}_b[n] - \Gamma_b\mathbf{u}[n]}_{\text{medidas conhecidas}} = \Phi_{ba}\mathbf{x}_a[n]. \quad (33)$$

Projeto a partir de...

Matriz de...

Discretização de...

Controlabilidade e...

Princípio da Separação

Problema de...

Sistemas com...

Atrasos

Homepage

Página de Rosto



Página 19 de 63

Voltar

Full Screen

Fechar

Desistir



Considere a Equação (27) do estimador, bem como as seguintes equivalências:

$$\begin{aligned}\mathbf{x} &\leftarrow \mathbf{x}_a \\ \Phi &\leftarrow \Phi_{aa} \\ \Gamma \mathbf{u}[n] &\leftarrow \Phi_{ab} \mathbf{x}_b[n] + \Gamma_a \mathbf{u}[n] \\ \mathbf{y}[n] &\leftarrow \mathbf{x}_b[n + 1] - \Phi_{bb} \mathbf{x}_b[n] - \Gamma_b \mathbf{u}[n] \\ \mathbf{C} &\leftarrow \Phi_{ba} \\ \mathbf{L} &\leftarrow \mathbf{L}_r\end{aligned}$$

Assim, (27) pode ser adaptada para

$$\hat{\mathbf{x}}[n+1] = \Phi \hat{\mathbf{x}}[n] + \Gamma \mathbf{u}[n] + \mathbf{L} (\mathbf{y}[n] - \hat{\mathbf{y}}[n])$$

$$\hat{\mathbf{x}}_a[n + 1] = \Phi_{aa} \hat{\mathbf{x}}_a[n] + \Phi_{ab} \mathbf{x}_b[n] + \Gamma_a \mathbf{u}[n] + \mathbf{L}_r (\mathbf{x}_b[n + 1] - \Phi_{bb} \mathbf{x}_b[n] - \Gamma_b \mathbf{u}[n] - \Phi_{ba} \hat{\mathbf{x}}_a[n]) \quad (34)$$

Mas,

$$\mathbf{x}_a[n + 1] = \Phi_{aa} \mathbf{x}_a[n] + \Phi_{ab} \mathbf{x}_b[n] + \Gamma_a \mathbf{u}[n] \quad (35)$$



Ao subtrair (34) de (35) e definir $\tilde{\mathbf{x}}_a[n] = \mathbf{x}_a[n] - \hat{\mathbf{x}}_a[n]$, chega-se em:

$$\Phi_{ba} \mathbf{x}_a[n]$$

$$\tilde{\mathbf{x}}_a[n+1] = \Phi_{aa} \tilde{\mathbf{x}}_a[n] - \mathbf{L}_r (\mathbf{x}_b[n+1] - \Phi_{bb} \mathbf{x}_b[n] - \Gamma_b \mathbf{u}[n] - \Phi_{ba} \hat{\mathbf{x}}_a[n]) \quad (36)$$

Ao substituir (32) em (36) e efetuar as devidas simplificações, tem-se que

$$\tilde{\mathbf{x}}_a[n+1] = (\Phi_{aa} - \mathbf{L}_r \Phi_{ba}) \tilde{\mathbf{x}}_a[n] \quad \Phi - \mathbf{L} \mathbf{C} \quad (37)$$

Em [Gopinath, 1977] é provado que se o observador de ordem completa da Equação (27) existir, então o estimador de ordem reduzida da Equação (34) também existe, ou seja, as raízes da equação característica dada por

$$\mathcal{L} = \text{place}(\Phi, \mathbf{C}')_{p_o}$$

$$\det(z\mathbf{I} - \Phi_{aa} + \mathbf{L}_r \Phi_{ba}) = 0 \quad (38)$$

podem ser alocadas de forma arbitrária.

No MATLAB: $\mathbf{L}_r = \text{place}(\Phi_{aa}', \Phi_{ba}', p_{or})'$, onde p_{or} é a posição desejada dos polos do observador de ordem reduzida.

Projeto a partir de...

Matriz de...

Discretização de...

Controlabilidade e...

Princípio da Separação

Problema de...

Sistemas com...

Atrasos

Homepage

Página de Rosto

◀

▶

◀

▶

Página 21 de 63

Voltar

Full Screen

Fechar

Desistir



Se a ordem do observador de ordem reduzida for a mínima possível, o observador é denominado **observador de ordem mínima**.

Note que em (34), $\hat{\mathbf{x}}_a[n+1]$ depende de $\mathbf{x}_b[n+1]$. Para escrever a equação de diferenças de uma forma mais conveniente, efetua-se uma manipulação em (34), tal que:

$$\hat{\mathbf{z}}[n] = \hat{\mathbf{x}}_a[n] - \mathbf{L}_r \mathbf{x}_b[n]$$

$$\hat{\mathbf{z}}[n+1] = (\Phi_{aa} - \mathbf{L}_r \Phi_{ba}) \hat{\mathbf{x}}_a[n] + (\Phi_{ab} - \mathbf{L}_r \Phi_{bb}) \mathbf{x}_b[n] + (\Gamma_a - \mathbf{L}_r \Gamma_b) \mathbf{u}[n] \quad (39)$$

Ao subtrair e somar o termo $(\Phi_{aa} - \mathbf{L}_r \Phi_{ba}) \mathbf{L}_r \mathbf{x}_b[n]$ do lado direito de (39), e definir $\hat{\mathbf{z}}[n] = \hat{\mathbf{x}}_a[n] - \mathbf{L}_r \mathbf{x}_b[n]$, chega-se em:

$$\hat{\mathbf{z}}[n+1] = (\Phi_{aa} - \mathbf{L}_r \Phi_{ba}) \hat{\mathbf{z}}[n] + (\Phi_{aa} - \mathbf{L}_r \Phi_{ba}) \mathbf{L}_r \mathbf{x}_b[n] + (\Phi_{ab} - \mathbf{L}_r \Phi_{bb}) \mathbf{x}_b[n] + (\Gamma_a - \mathbf{L}_r \Gamma_b) \mathbf{u}[n] \quad (40)$$

Projeto a partir de...

Matriz de...

Discretização de...

Controlabilidade e...

Princípio da Separação

Problema de...

Sistemas com...

Atrasos

Homepage

Página de Rosto

◀

▶

◀

▶

Página 22 de 63

Voltar

Full Screen

Fechar

Desistir



Assim, a equação de diferenças (40) pode ser utilizada para representar a dinâmica do estimador de ordem reduzida. A lei de controle por realimentação de estados é então dada por:

$$\mathbf{u}[n] = -\mathbf{K} \begin{bmatrix} \hat{\mathbf{x}}_a[n] \\ \mathbf{x}_b[n] \end{bmatrix} = -\mathbf{K} \begin{bmatrix} \hat{\mathbf{z}}[n] + \mathbf{L}_r \cdot \mathbf{y}[n] \\ \mathbf{y}[n] \end{bmatrix} \quad (41)$$

Com isso, pode-se ter a representação da Figura 6.

Projeto a partir de...

Matriz de...

Discretização de...

Controlabilidade e...

Princípio da Separação

Problema de...

Sistemas com...

Atrasos

Homepage

Página de Rosto



Página 23 de 63

Voltar

Full Screen

Fechar

Desistir



Projeto a partir de ...

Matriz de ...

Discretização de ...

Controlabilidade e ...

Princípio da Separação

Problema de ...

Sistemas com ...

Atrasos

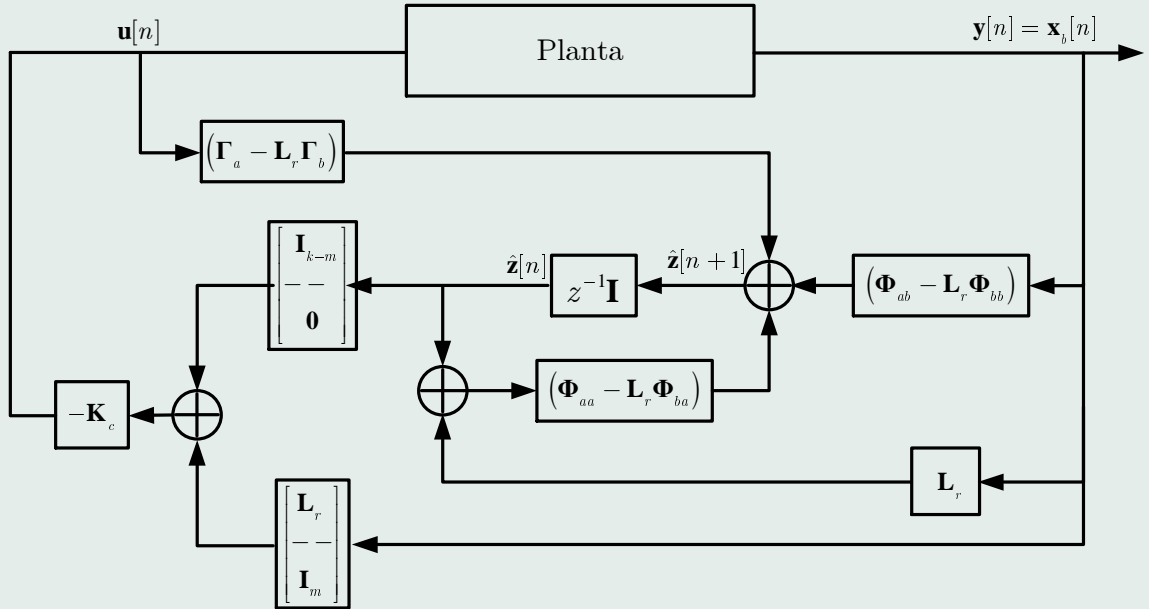


Figure 6: Diagrama do estimador ordem reduzida.

Homepage

Página de Rosto



Página 24 de 63

Voltar

Full Screen

Fechar

Desistir



5. Princípio da Separação

$$\begin{bmatrix} \mathbf{x}[n+1] \\ \tilde{\mathbf{x}}[n+1] \end{bmatrix} = \begin{bmatrix} \mathbf{\Phi} - \mathbf{\Gamma K} & 0 \\ 0 & \mathbf{\Phi} - \mathbf{L C} \end{bmatrix} \begin{bmatrix} x[n] \\ e[n] \end{bmatrix} \quad (42)$$

- Os autovalores desse sistema aumentado são dados pelos autovalores de $(\mathbf{\Phi} - \mathbf{\Gamma K})$ e $(\mathbf{\Phi} - \mathbf{L C})$.
- Os ganhos \mathbf{K} e \mathbf{L} podem ser calculados separadamente (*Princípio da Separação*).
- os polos de $\mathbf{\Phi} - \mathbf{L C}$ devem possuir modulo menor que os polos de $\mathbf{\Phi} - \mathbf{\Gamma K}$;

[Homepage](#)[Página de Rosto](#)[Página 25 de 63](#)[Voltar](#)[Full Screen](#)[Fechar](#)[Desistir](#)



6. Problema de Rastreamento

Esquemas como o da Figura 3 são reguladores que levam o estado do sistema a zero a partir de qualquer condição inicial, com velocidade determinada pela equação característica do sistema em mala fechada. No entanto, caso as saídas do sistema precisem seguir uma referência com erro assintótico nulo (rastreamento), não se pode garantir a ausência de erro em regime pela realimentação de polos.

6.1. Realimentação Estados com Entrada de Referência

Considere o diagrama em blocos da Figura 7, e que o sistema possua o mesmo número de entradas e saídas, $\mathbf{r}[n] \in \mathbb{R}^{m \times 1}$, $\mathbf{y}[n] \in \mathbb{R}^{m \times 1}$.

Projeto a partir de ...

Matriz de ...

Discretização de ...

Controlabilidade e ...

Princípio da Separação

Problema de ...

Sistemas com ...

Atrasos

Homepage

Página de Rosto



Página 26 de 63

Voltar

Full Screen

Fechar

Desistir

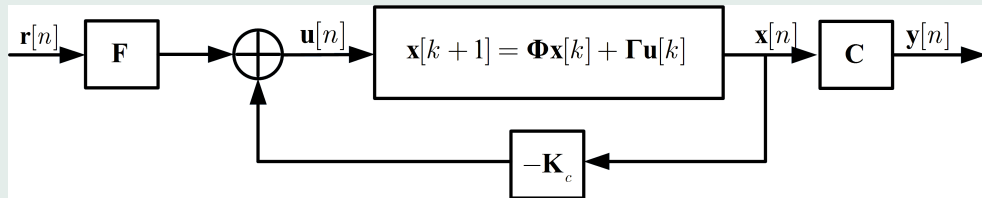


Figure 7: Realimentação de estados com entrada de referência.

A alocação de polos geralmente altera o ganho total do sistema, o que sugere o uso de um pré-filtro \mathbf{F} ($m \times m$) para ajustar saída quando há uma variação degrau na referência.

O sistema em malha fechada é regido por:

$$\begin{aligned}\mathbf{x}[n+1] &= (\mathbf{\Phi} - \mathbf{\Gamma K}_c) \mathbf{x}[n] + \mathbf{\Gamma F} \mathbf{r}[n] \\ \mathbf{y} &= \mathbf{C} \mathbf{x}[n]\end{aligned}\quad (43)$$

Na condição de regime permanente, tem-se

$$\mathbf{x}_{ss} = (\mathbf{\Phi} - \mathbf{\Gamma K}_c) \mathbf{x}_{ss} + \mathbf{\Gamma F} \mathbf{r}_{ss}\quad (44)$$



e,

$$\mathbf{y}_{ss} = \mathbf{C}\mathbf{x}_{ss} \quad (45)$$

De (44) segue que:

$$\mathbf{x}_{ss} = (\mathbf{I}_{k,k} - \mathbf{\Phi} + \mathbf{\Gamma}\mathbf{K}_c)^{-1} \mathbf{\Gamma}\mathbf{F}\mathbf{u}_{ss} \quad (46)$$

Logo,

$$\mathbf{y}_{ss} = \mathbf{C} (\mathbf{I}_{k,k} - \mathbf{\Phi} + \mathbf{\Gamma}\mathbf{K}_c)^{-1} \mathbf{\Gamma}\mathbf{F} \mathbf{r}_{ss} \quad (47)$$

Para a condição de erro nulo em regime permanente, tem-se $\mathbf{y}_{ss} = \mathbf{r}_{ss}$. Isso ocorre se:

$$\mathbf{C} (\mathbf{I}_{k,k} - \mathbf{\Phi} + \mathbf{\Gamma}\mathbf{K}_c)^{-1} \mathbf{\Gamma}\mathbf{F} = \mathbf{I}_{m \times m}. \quad (48)$$

Assim, a equação do pré-filtro resulta em:

$$\mathbf{F} = \left(\mathbf{C} (\mathbf{I} - \mathbf{\Phi} + \mathbf{\Gamma}\mathbf{K}_c)^{-1} \mathbf{\Gamma} \right)^{-1}. \quad (49)$$

[Homepage](#)[Página de Rosto](#)[Página 28 de 63](#)[Voltar](#)[Full Screen](#)[Fechar](#)[Desistir](#)



Outra forma de resolver este problema consiste em utilizar a estrutura da Figura 8.

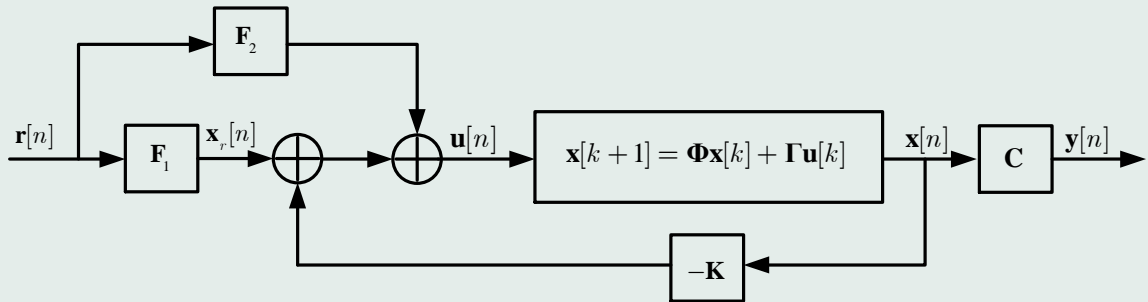


Figure 8: Realimentação de estados com entrada de referência.

Deseja-se que

$$\mathbf{F}_1 \mathbf{r} = \mathbf{x}_r = \mathbf{x}_{SS}, \quad (50)$$

e que

$$\mathbf{y}_{SS} = \mathbf{C} \mathbf{x}_{SS} = \mathbf{r}, \quad (51)$$

ou seja,

$$\mathbf{C} \mathbf{F}_1 \mathbf{r} = \mathbf{r} \Rightarrow \mathbf{C} \mathbf{F}_1 = \mathbf{I}_{m \times m}. \quad (52)$$



Em regime estacionário, tem-se ainda que

$$\mathbf{x}_{ss} = \Phi \mathbf{x}_{ss} + \Gamma \mathbf{u}_{ss} \Rightarrow (\Phi - \mathbf{I}_{k,k}) \mathbf{x}_{ss} + \Gamma \mathbf{u}_{ss} = 0. \quad (53)$$

Como em regime estacionário $\mathbf{u}_{ss} = \mathbf{F}_2 \mathbf{r}$, tem-se que

$$(\Phi - \mathbf{I}_{k,k}) \mathbf{x}_{ss} + \Gamma \mathbf{F}_2 \mathbf{r} = 0. \quad (54)$$

De (52) e (54), pode-se escrever

$$\begin{bmatrix} (\Phi - \mathbf{I}_{k,k}) & \Gamma \\ \mathbf{C} & 0 \end{bmatrix} \cdot \begin{bmatrix} \mathbf{F}_1 \\ \mathbf{F}_2 \end{bmatrix} = \begin{bmatrix} 0 \\ \mathbf{I}_{m \times m} \end{bmatrix} \quad (55)$$

Portanto,

$$\begin{bmatrix} \mathbf{F}_1 \\ \mathbf{F}_2 \end{bmatrix} = \begin{bmatrix} (\Phi - \mathbf{I}_{k,k}) & \Gamma \\ \mathbf{C} & 0 \end{bmatrix}^{-1} \cdot \begin{bmatrix} 0 \\ \mathbf{I}_{m \times m} \end{bmatrix} \quad (56)$$

Projeto a partir de...

Matriz de...

Discretização de...

Controlabilidade e...

Princípio da Separação

Problema de...

Sistemas com...

Atrasos

Homepage

Página de Rosto



Página 30 de 63

Voltar

Full Screen

Fechar

Desistir



6.2. Inserção de Integrador

Muitas vezes é necessária a inserção de integradores na malha de controle. Uma forma de inserir um integrador consiste em introduzir um novo vetor de estados que integre o erro entre o vetor de saída \mathbf{y} e o vetor de comando de entrada \mathbf{r} , ambos com m elementos, como apresentado no diagrama da Figura 9.

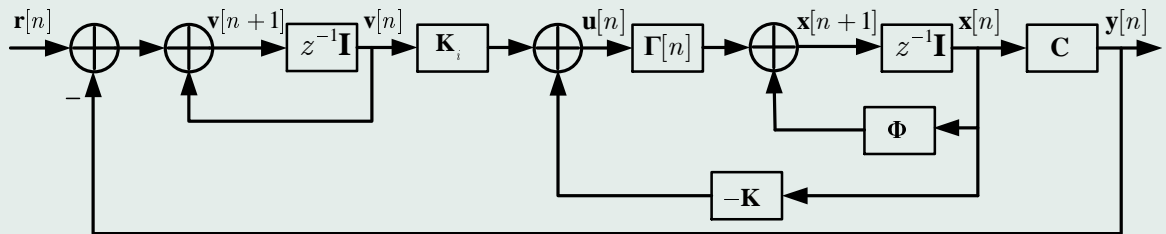


Figure 9: Servossistema com realimentação de estados e controle integral.

A equação de estados do integrador inserido é dada por

$$\mathbf{v}[n+1] = \mathbf{v}[n] + \mathbf{r}[n] - \mathbf{y}[n] \Rightarrow \mathbf{v}[n+1] = \mathbf{v}[n] + \mathbf{r}[n] - \mathbf{C}\mathbf{x}[n] \quad (57)$$



A equação de estados do sistema em malha fechada é dada por:

$$\mathbf{x}[n + 1] = (\mathbf{\Phi} - \mathbf{\Gamma}\mathbf{K}) \mathbf{x}[n] + \mathbf{\Gamma}\mathbf{K}_i \mathbf{v}[n] \quad (58)$$

Tem-se, portanto, a seguinte equação para o sistema aumentado:

$$\begin{bmatrix} \mathbf{x}[n + 1] \\ \mathbf{v}[n + 1] \end{bmatrix} = \begin{bmatrix} \mathbf{\Phi} - \mathbf{\Gamma}\mathbf{K} & \mathbf{\Gamma}\mathbf{K}_i \\ -\mathbf{C} & \mathbf{I}_{m \times m} \end{bmatrix} \cdot \begin{bmatrix} \mathbf{x}[n] \\ \mathbf{v}[n] \end{bmatrix} + \begin{bmatrix} 0 \\ \mathbf{I}_{m \times m} \end{bmatrix} \cdot \mathbf{r}[n], \quad (59)$$

ou seja,

$$\begin{bmatrix} \mathbf{x}[n + 1] \\ \mathbf{v}[n + 1] \end{bmatrix} = \left(\underbrace{\begin{bmatrix} \mathbf{\Phi} & 0 \\ -\mathbf{C} & \mathbf{I}_{m \times m} \end{bmatrix}}_{\hat{\mathbf{\Phi}}} - \underbrace{\begin{bmatrix} \mathbf{\Gamma} \\ \mathbf{0}_{k \times k} \end{bmatrix}}_{\hat{\mathbf{\Gamma}}} \cdot \underbrace{\begin{bmatrix} \mathbf{K} & -\mathbf{K}_i \end{bmatrix}}_{\hat{\mathbf{K}}} \right) \cdot \begin{bmatrix} \mathbf{x}[n] \\ \mathbf{v}[n] \end{bmatrix} + \begin{bmatrix} \mathbf{0}_{m \times m} \\ \mathbf{I}_{m \times m} \end{bmatrix} \cdot \mathbf{r}[n] \quad (60)$$

Com isso, basta determinar o ganho $\hat{\mathbf{K}}$ que aloca os polos para o sistema aumentado da Equação (60).



6.3. Estimador pelo Valor Atual

Pode-se projetar um estimador no instante n para uma medida de saída no instante n , tal como apresentado na Equação (61).

$$\hat{\mathbf{x}}[n] = \bar{\mathbf{x}}[n] + \mathbf{L}_c(\mathbf{y}[n] - \mathbf{C}\bar{\mathbf{x}}[n]), \quad (61)$$

onde $\bar{\mathbf{x}}[n]$ é dado por $\mathbf{x}[n] = \Phi\mathbf{x}[n-1] + \Gamma\mathbf{u}[n-1]$

$$\bar{\mathbf{x}}[n] = \Phi\hat{\mathbf{x}}[n-1] + \Gamma\mathbf{u}[n-1], \quad (62)$$

Ao substituir (62) em (61), verifica-se que

$$\hat{\mathbf{x}}[n] = \Phi\hat{\mathbf{x}}[n-1] + \Gamma\mathbf{u}[n-1] + \mathbf{L}_c\mathbf{C}(\mathbf{x}[n] - \bar{\mathbf{x}}[n]), \quad (63)$$

Mas,

$$\begin{aligned} \mathbf{x}[n] - \bar{\mathbf{x}}[n] &= (\Phi\mathbf{x}[n-1] + \Gamma\mathbf{u}[n-1]) - (\Phi\hat{\mathbf{x}}[n-1] + \Gamma\mathbf{u}[n-1]) \\ &= \Phi\tilde{\mathbf{x}}[n-1] \end{aligned} \quad (64)$$

Projeto a partir de...

Matriz de...

Discretização de...

Controlabilidade e...

Princípio da Separação

Problema de...

Sistemas com...

Atrasos

Homepage

Página de Rosto

◀

▶

◀

▶

Página 33 de 63

Voltar

Full Screen

Fechar

Desistir



Assim,

$$\underline{\hat{\mathbf{x}}[n] = \Phi \hat{\mathbf{x}}[n-1] + \Gamma \mathbf{u}[n-1] + \mathbf{L}_c \mathbf{C} \Phi \tilde{\mathbf{x}}[n-1]} \quad (65)$$

Portanto, o erro ode estimação possui a seguinte dinâmica

$$\tilde{\mathbf{x}}[n] = \mathbf{x}[n] - \hat{\mathbf{x}}[n] = (\Phi - \mathbf{L}_c \mathbf{C} \Phi) \tilde{\mathbf{x}}[n-1] \quad (66)$$

Sintaxe com o comando place: $\mathbf{L} = \text{place}(\Phi', \Phi' \mathbf{C}', p_o)'$.

A Figura 10 ilustra o diagrama em blocos do sistema com realimentação de estados utilizando o estimador do valor atual

$$\hat{\mathbf{x}}[n+1] = (\Phi - \mathbf{L}_c \mathbf{C}) \hat{\mathbf{x}}[n] \quad \Bigg| \quad \mathbf{L}_c = \text{place} \begin{pmatrix} \Phi' & \Phi' \mathbf{C}' \end{pmatrix}$$

$$\mathbf{L} = \text{place} \begin{pmatrix} \Phi' & \mathbf{C}' & p_o \end{pmatrix}'$$

Projeto a partir de...

Matriz de...

Discretização de...

Controlabilidade e...

Princípio da Separação

Problema de...

Sistemas com...

Atrasos

Homepage

Página de Rosto

◀

▶

◀

▶

Página 34 de 63

Voltar

Full Screen

Fechar

Desistir



Projeto a partir de...

Matriz de...

Discretização de...

Controlabilidade e...

Princípio da Separação

Problema de...

Sistemas com...

Atrasos

Homepage

Página de Rosto



Página 35 de 63

Voltar

Full Screen

Fechar

Desistir

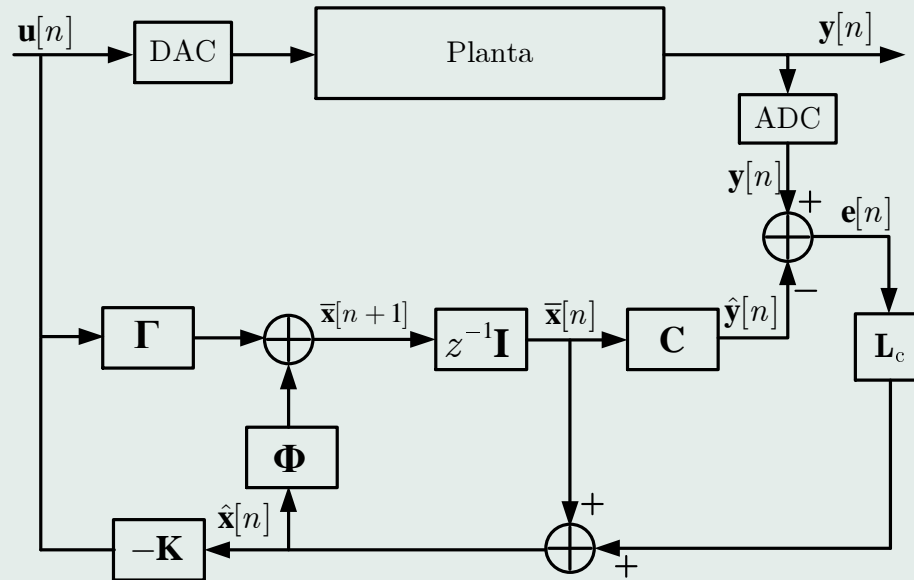


Figure 10: Diagrama do estimador de valor atual com o controle em malha fechada.



🔗 **Exemplo 1:** Considere o sistema dada por

$$G(s) = \frac{Y(s)}{U(s)} = \frac{0,6}{s(s + 0,7)}$$

Projete um controlador digital por realimentação de estados de forma que o sistema em malha fechada apresente $w_n = 5,0$; $\zeta = 0,7$. Assuma $f_s = 20\text{Hz}$. Considere ainda: a) realimentação com todos os estados medidos; b) realimentação com todos os estados estimados e preditor; c) realimentação de estados com estimador de ordem reduzida e preditor; d) realimentação de estados com todos os estados estimados e estimador de valor atual.

Solução: Note que,

$$\ddot{y} + 0,7\dot{y} = 0,6u$$

Define-se $x_1 = \dot{y}$ e $x_2 = y$. Assim, $\dot{x}_1 = \dot{y} = -0,7x_1 + 0,6u$. Portanto,

$$\begin{bmatrix} \dot{x}_1 \\ \dot{x}_2 \end{bmatrix} = \begin{bmatrix} -0,7 & 0 \\ 1 & 0 \end{bmatrix} \cdot \begin{bmatrix} x_1 \\ x_2 \end{bmatrix} + \begin{bmatrix} 0,6 \\ 0 \end{bmatrix} u; \quad y = \begin{bmatrix} 0 & 1 \end{bmatrix} \cdot \begin{bmatrix} x_1 \\ x_2 \end{bmatrix}$$

Projeto a partir de...

Matriz de...

Discretização de...

Controlabilidade e...

Princípio da Separação

Problema de...

Sistemas com...

Atrasos

Homepage

Página de Rosto



Página 36 de 63

Voltar

Full Screen

Fechar

Desistir



O restante do exercício será resolvido diretamente no Matlab:

```
clear all; clc; close all;
fs=20; Ts=1/fs;
K_G = 0.6; %Numerador da F. T.
A = [-0.7 0; 1 0]; B = [0.6; 0]; C = [0 1]; D = 0;
[Phi,Gamma] = c2d(A,B,Ts);
wn = 5.0; zeta = 0.7; s1 = wn*(-zeta+j*sqrt(1-zeta^2));
p_c = exp([s1; s1']*Ts); %Polos do sist. de controle em MF
```

```
wn2 = 10.0; xsi2 = 0.707; s2 = wn2*(-xsi2+j*sqrt(1-xsi2^2));
p_o = exp([s2; s2']*Ts); %Polos do sist. observador completo
p_or = real(p_o(1)); %Polos do sist. observador de ord. reduzida
K = place(Phi,Gamma,p_c); % Projeto do Controlador
F = inv(C*inv(eye(2) - Phi + Gamma * K) * Gamma); % Pré-filtro
item = 'd'; %seleciona o item
switch(item)
case 'a' %realimentação de estados medidos
sim('SIM_EX1_CHAP_09_a');
case 'b' %realimentação de estados estimados (observador ordem completa)
L = place(Phi',C',p_o)'; % Projeto do observador ordem completa
sim('SIM_EX1_CHAP_09_b');
case 'c' %realimentação de estados estimados (observador ordem mínima)
Phi_aa = Phi(1,1); Phi_ba = Phi(2,1);
%Lr = place(Phi_aa',Phi_ba',p_or)'; % Projeto do observador ordem mínima
```

[Homepage](#)[Página de Rosto](#)[Página 37 de 63](#)[Voltar](#)[Full Screen](#)[Fechar](#)[Desistir](#)



Projeto a partir de...

Matriz de...

Discretização de...

Controlabilidade e...

Princípio da Separação

Problema de...

Sistemas com...

Atrasos

Homepage

Página de Rosto



Página 38 de 63

Voltar

Full Screen

Fechar

Desistir

```
Lr = (Phi_aa - p_or)/Phi_ba;
sim('SIM_EX1_CHAP_09_c');
case 'd'
Lc = place(Phi', (C*Phi)',p_o)';
sim('SIM_EX1_CHAP_09_d');
otherwise
error('item precisa ser 'a', 'b', 'c' ou 'd' ');
end
x_1 = x_out(:,1); x_2 = x_out(:,2); t_d = (0:length(x_1)-1)*Ts;
figure(5); subplot(2,1,1); plot(t,r,'b',t,y,'r');
xlabel('$t$', 'Interpreter', 'latex'); ylabel('Amplitude', 'Interpreter', 'lat
leg=legend('Setpoint', 'Saida');
set(leg, 'Interpreter', 'latex', 'Location', 'best');
subplot(2,1,2); stairs(t_d,x_1,'b');hold on; stairs(t_d,x_2,'r');
xlabel('$n T_s$', 'Interpreter', 'latex');
ylabel('Amplitude', 'Interpreter', 'latex')
leg=legend('$x_1(n T_s)$', '$x_2(n T_s)$');
set(leg, 'Interpreter', 'latex', 'Location', 'best');
figure(6); stairs(t_d, u);
xlabel('$n T_s$', 'Interpreter', 'latex');
ylabel('$u(n T_s)$', 'Interpreter', 'latex');
```

Os diagramas de simulação dos itens a), b), c) e d) são apresentados nas Figuras 11, 12 e 14, respectivamente. Os códigos das Matlab Functions de cada exemplo são apresentados a seguir:

[Projeto a partir de...](#)[Matriz de...](#)[Discretização de...](#)[Controlabilidade e...](#)[Princípio da Separação](#)[Problema de...](#)[Sistemas com...](#)[Atrasos](#)[Homepage](#)[Página de Rosto](#)[Página 39 de 63](#)[Voltar](#)[Full Screen](#)[Fechar](#)[Desistir](#)

```
%a) realimentação de estados medidos
function u = fcn(r, x_1, x_2, K, F)
%#eml
u = F*r-(K(1)*x_1 + K(2)*x_2);
```

```
%b) realimentação de estados observados (observador ordem completa preditor)
function [u, x_chap_1, x_chap_2] = fcn(r, y, K, L, F, Phi, Gamma, C)
%#eml
global x_chap_1_ant; global x_chap_2_ant;
u = F*r-(K(1)*x_chap_1_ant + K(2)*x_chap_2_ant);
y_chap = C(1)*x_chap_1_ant+C(2)*x_chap_2_ant;
x_chap_1 = Phi(1,1)*x_chap_1_ant + Phi(1,2)*x_chap_2_ant + ...
Gamma(1)*u + L(1)*(y - y_chap);
x_chap_2 = Phi(2,1)*x_chap_1_ant + Phi(2,2)*x_chap_2_ant + ...
Gamma(2)*u + L(2)*(y - y_chap);
x_chap_1_ant = x_chap_1; x_chap_2_ant = x_chap_2;
```

```
%c) realimentação de estados observados (observador ordem mínima preditor)
function [u, x_chap_1] = fcn(r, y, K, Lr, F, Phi, Gamma, C)
%#eml
Phi_aa = Phi(1,1); Phi_ab = Phi(1,2);
Phi_ba = Phi(2,1); Phi_bb = Phi(2,2);
Gamma_a = Gamma(1); Gamma_b = Gamma(2);
global z_chap_ant;
x_2 = y;
x_chap_1 = z_chap_ant+Lr*y;
x_1 = x_chap_1;
```



```
u = F*r-(K(1)*x_1 + K(2)*x_2);  
z_chap = (Phi_aa-Lr*Phi_ba)*z_chap_ant + (Phi_aa-Lr*Phi_ba)*Lr*x_2 + ...  
(Phi_ab-Lr*Phi_bb)*x_2 + (Gamma_a - Lr*Gamma_b)*u;  
z_chap_ant = z_chap;
```

```
%d) realimentação de estados observados (observador ordem completa e valor  
function [u, x_chap_1, x_chap_2] = fcn(r, y, K, Lc, F, Phi, Gamma, C)  
%#eml  
global x_bar_1; global x_bar_2;  
x_chap_1 = x_bar_1 + Lc(1)*(y - (C(1)*x_bar_1 + C(2)*x_bar_2));  
x_chap_2 = x_bar_2 + Lc(2)*(y - (C(1)*x_bar_1 + C(2)*x_bar_2));  
u = F*r-(K(1)*x_chap_1 + K(2)*x_chap_2);  
x_bar_1 = Phi(1,1)*x_chap_1 +Phi(1,2)*x_chap_2 + Gamma(1)*u;  
x_bar_2 = Phi(2,1)*x_chap_1 +Phi(2,2)*x_chap_2 + Gamma(2)*u;
```

Os resultados obtidos são mostrados nas Figuras 15 a 18.

[Homepage](#)[Página de Rosto](#)[Página 40 de 63](#)[Voltar](#)[Full Screen](#)[Fechar](#)[Desistir](#)



Projeto a partir de...

Matriz de...

Discretização de...

Controlabilidade e...

Princípio da Separação

Problema de...

Sistemas com...

Atrasos

Homepage

Página de Rosto



Página 41 de 63

Voltar

Full Screen

Fechar

Desistir

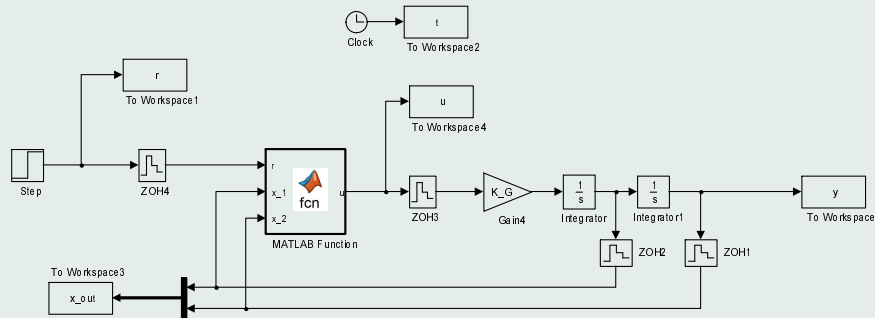


Figure 11: Diagrama de simulação do Exemplo .1 a.

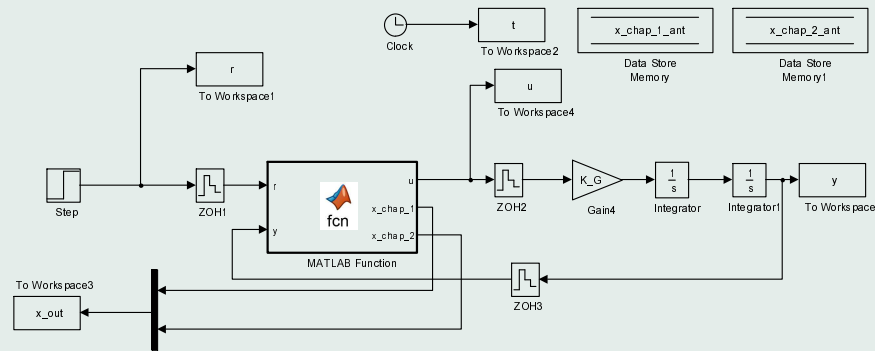


Figure 12: Diagrama de simulação do Exemplo .1 b.



Projeto a partir de...

Matriz de...

Discretização de...

Controlabilidade e...

Princípio da Separação

Problema de...

Sistemas com...

Atrasos

Homepage

Página de Rosto



Página 42 de 63

Voltar

Full Screen

Fechar

Desistir

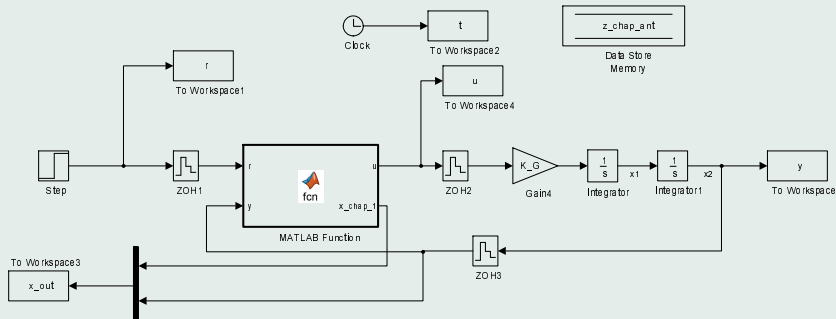


Figure 13: Diagrama de simulação do Exemplo .1 c.

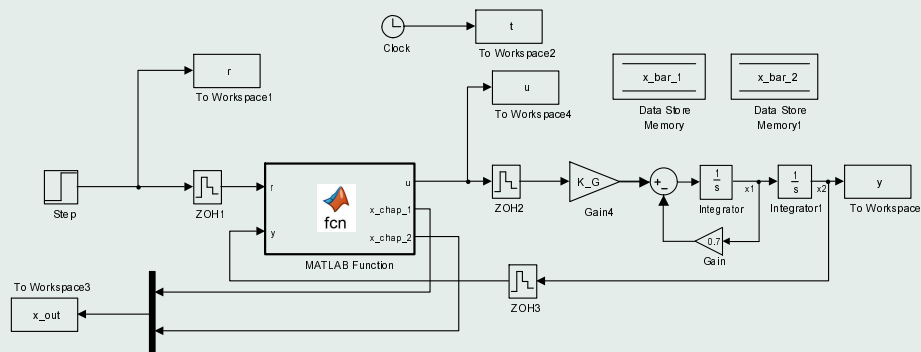


Figure 14: Diagrama de simulação do Exemplo .1 d.



🔗 **Exemplo 2:** Considere o sistema dada por

$$G(s) = \frac{Y(s)}{U(s)} = \frac{1}{(s+1)(s+10)}$$

Adicione um integrador ao sistema e projete um controle digital por realimentação de estados para o sistema aumentado. Assuma $f_s = 20$ Hz e as seguintes especificações para os polos dominantes de malha fechada: $\omega_n = 5,71$; $\zeta = 0,7$.

Solução: Ao definir $x_2 = y$ e $x_1 = \dot{y}$, tem-se a seguinte representação em espaço de estados:

$$\begin{bmatrix} \dot{x}_1 \\ \dot{x}_2 \end{bmatrix} = \begin{bmatrix} -11 & -10 \\ 1 & 0 \end{bmatrix} \cdot \begin{bmatrix} x_1 \\ x_2 \end{bmatrix} + \begin{bmatrix} 1 \\ 0 \end{bmatrix} u; \quad y = \begin{bmatrix} 0 & 1 \end{bmatrix} \cdot \begin{bmatrix} x_1 \\ x_2 \end{bmatrix}$$

O restante do exercício será resolvido diretamente no Matlab:

Projeto a partir de...

Matriz de...

Discretização de...

Controlabilidade e...

Princípio da Separação

Problema de...

Sistemas com...

Atrasos

Homepage

Página de Rosto



Página 43 de 63

Voltar

Full Screen

Fechar

Desistir



Projeto a partir de...

Matriz de...

Discretização de...

Controlabilidade e...

Princípio da Separação

Problema de...

Sistemas com...

Atrasos

Homepage

Página de Rosto



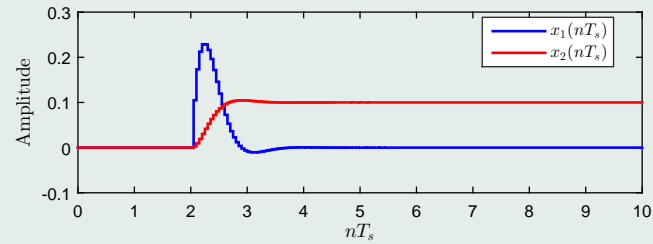
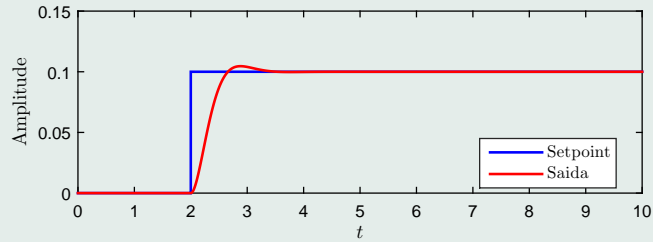
Página 44 de 63

Voltar

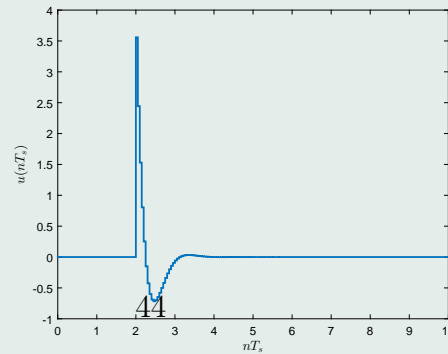
Full Screen

Fechar

Desistir



(a) Saída e Estados



(b) Sinal de Controle



Projeto a partir de...

Matriz de...

Discretização de...

Controlabilidade e...

Princípio da Separação

Problema de...

Sistemas com...

Atrasos

Homepage

Página de Rosto



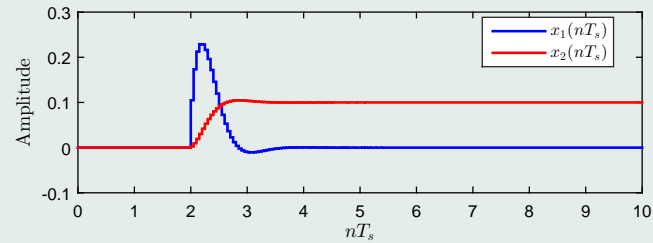
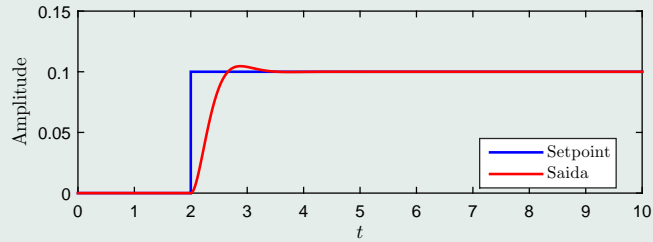
Página 45 de 63

Voltar

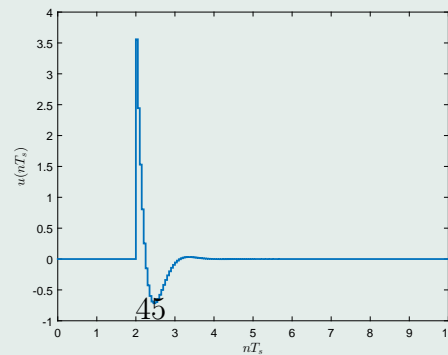
Full Screen

Fechar

Desistir



(a) Saída e Estados



(b) Sinal de Controle



Projeto a partir de...

Matriz de...

Discretização de...

Controlabilidade e...

Princípio da Separação

Problema de...

Sistemas com...

Atrasos

Homepage

Página de Rosto



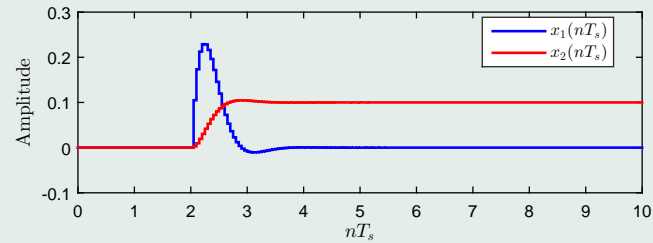
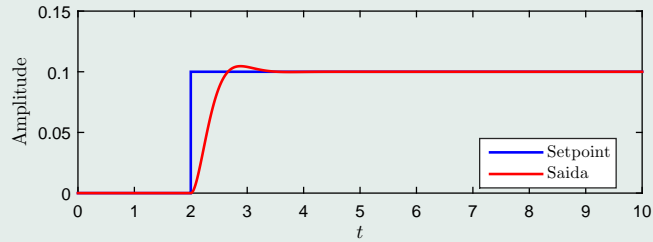
Página 46 de 63

Voltar

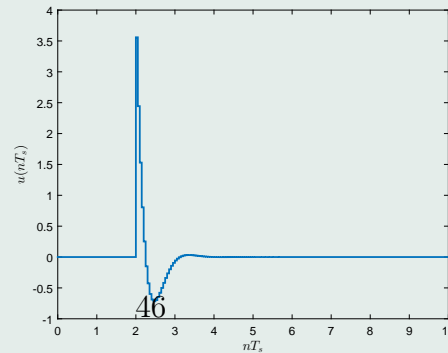
Full Screen

Fechar

Desistir



(a) Saída e Estados



(b) Sinal de Controle



Projeto a partir de...

Matriz de...

Discretização de...

Controlabilidade e...

Princípio da Separação

Problema de...

Sistemas com...

Atrasos

Homepage

Página de Rosto



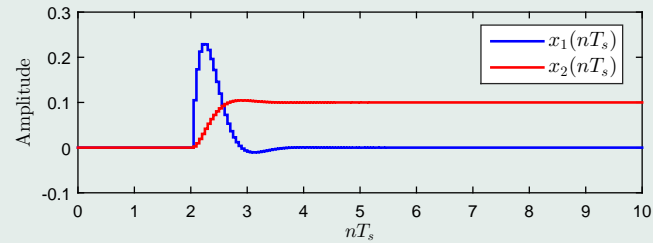
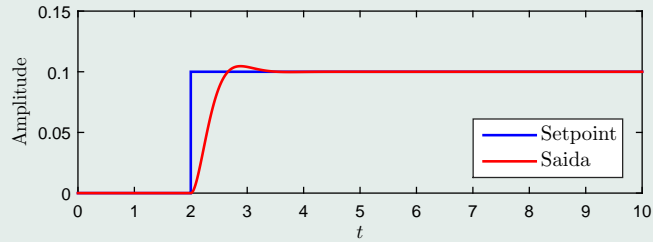
Página 47 de 63

Voltar

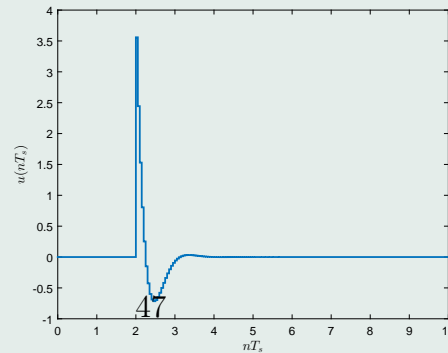
Full Screen

Fechar

Desistir



(a) Saída e Estados



(b) Sinal de Controle

[Projeto a partir de...](#)[Matriz de...](#)[Discretização de...](#)[Controlabilidade e...](#)[Princípio da Separação](#)[Problema de...](#)[Sistemas com...](#)[Atrasos](#)[Homepage](#)[Página de Rosto](#)[Página 48 de 63](#)[Voltar](#)[Full Screen](#)[Fechar](#)[Desistir](#)

```
clear all; clc; close all;
fs=20; Ts=1/fs;
A = [-11 -10; 1 0]; B = [1; 0]; C = [0 1];
%OBS: no bloco State-Space foi feito C=eye(2) para obter na saída todos
%estados para a realimentação. Para obter y, tomou-se a 2a saída
[Phi,Gamma] = c2d(A,B,Ts);
Phi_ = [Phi zeros(2,1); -C 1]; Gamma_ = [Gamma; 0];
wn = 5.71; zeta = 0.7;
s1 = wn*(-zeta+j*sqrt(1-zeta^2));
p_c = exp([s1; s1']*Ts); %Polos do sist. de controle em MF
p_c = [p_c; 0.2]; %O terceiro polo foi inserido em z = 0.2
K_ = place(Phi_,Gamma_,p_c); % Projeto do Controlador
K = K_(1:2); Ki = -K_(3);
sim('SIM_EX2_CHAP_09');
x_1 = x_out(:,1); x_2 = x_out(:,2);
t_d = (0:length(x_1)-1)*Ts;
figure(5); subplot(2,1,1);plot(t,r,'b',t,y,'r');
xlabel('$t$', 'Interpreter','latex');
ylabel('Amplitude', 'Interpreter','latex')
leg = legend('Setpoint', 'Saida');
set(leg, 'Interpreter','latex', 'Location','best');
subplot(2,1,2);stairs(t_d,x_1,'b');hold on; stairs(t_d,x_2,'r');
xlabel('$n T_s$', 'Interpreter','latex');
ylabel('Amplitude', 'Interpreter','latex')
leg = legend('$x_1(n T_s)$', '$x_2(n T_s)$');
set(leg, 'Interpreter','latex', 'Location','best');
figure(6); stairs(t_d, u);
```




```
xlabel('$n T_s$', 'Interpreter', 'latex');  
ylabel('$u(n T_s)$', 'Interpreter', 'latex');
```

O digrama de simulação é apresentado na Figura 19. O código do bloco Matlab Function é apresentado a seguir:

```
function u = fcn(r, x_1, x_2, K, Ki)  
%#eml  
global v  
y=x_2;  
u = -(K(1)*x_1 + K(2)*x_2)+ Ki*v;  
v = v+(r-y);
```

Os resultados obtidos são apresentados na Figura 20.

[Homepage](#)[Página de Rosto](#)[Página 49 de 63](#)[Voltar](#)[Full Screen](#)[Fechar](#)[Desistir](#)



Projeto a partir de...

Matriz de...

Discretização de...

Controlabilidade e...

Princípio da Separação

Problema de...

Sistemas com...

Atrasos

Homepage

Página de Rosto



Página 50 de 63

Voltar

Full Screen

Fechar

Desistir

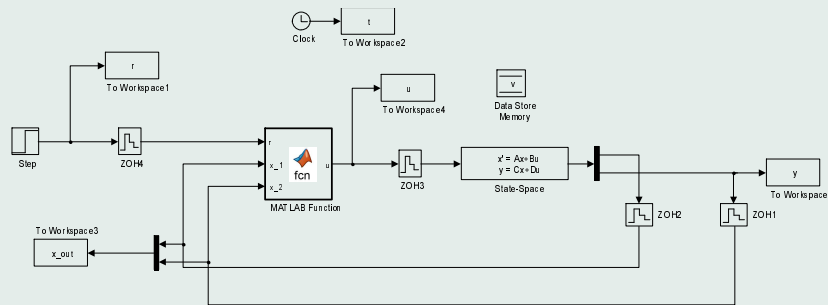


Figure 19: Diagrama de simulação do Exemplo .2.



Projeto a partir de...

Matriz de...

Discretização de...

Controlabilidade e...

Princípio da Separação

Problema de...

Sistemas com...

Atrasos

Homepage

Página de Rosto



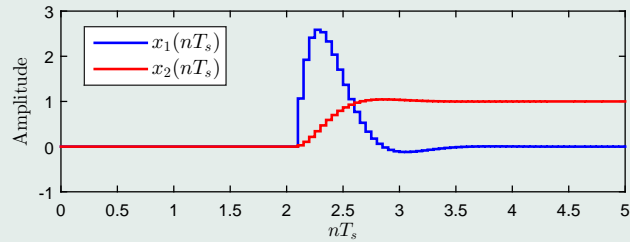
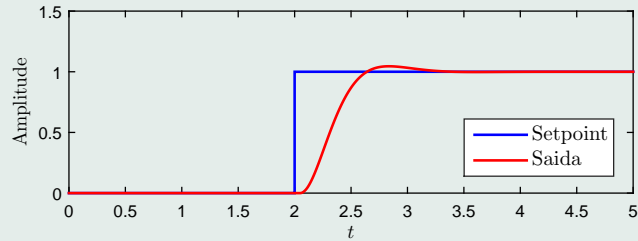
Página 51 de 63

Voltar

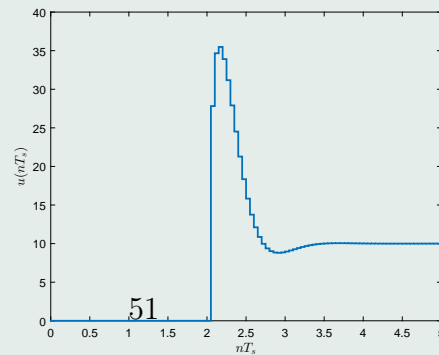
Full Screen

Fechar

Desistir



(a) Saída e Estados



(b) Sinal de Controle



7. Sistemas com perturbações

Considere o sistema da Figura 21.

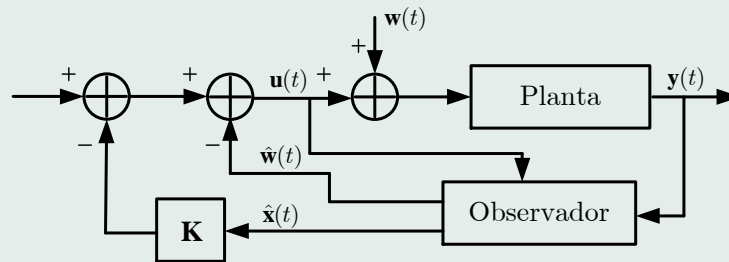


Figure 21: Sistema com cancelamento de perturbação modelada.

Suponha que o sistema é afetado por uma perturbação $\mathbf{w}(t)$, cujo modelo é dado por:

$$\dot{\mathbf{x}}_w(t) = \mathbf{A}_w \mathbf{x}_w(t) \quad (67)$$

$$\mathbf{w}(t) = \mathbf{C}_w \mathbf{x}_w(t) \quad (68)$$

Se $\mathbf{w}(t)$ for constante, então $\mathbf{A}_w = \mathbf{C}_w = \mathbf{I}$. O sistema aumen-

Projeto a partir de...

Matriz de...

Discretização de...

Controlabilidade e...

Princípio da Separação

Problema de...

Sistemas com...

Atrasos

Homepage

Página de Rosto

◀

▶

◀

▶

Página 52 de 63

Voltar

Full Screen

Fechar

Desistir



tado pode ser representado como:

$$\begin{bmatrix} \dot{\mathbf{x}}(t) \\ \dot{\mathbf{x}}_w(t) \end{bmatrix} = \begin{bmatrix} \mathbf{A} & \mathbf{B}\mathbf{C}_w \\ \mathbf{0} & \mathbf{A}_w \end{bmatrix} \begin{bmatrix} \mathbf{x}(t) \\ \mathbf{x}_w(t) \end{bmatrix} + \begin{bmatrix} \mathbf{B} \\ \mathbf{0} \end{bmatrix} u(t) \quad (69)$$

$$\mathbf{y}(t) = \begin{bmatrix} \mathbf{C} & \mathbf{0} \end{bmatrix} \begin{bmatrix} \mathbf{x}(t) \\ \mathbf{x}_w(t) \end{bmatrix} \quad (70)$$

O equivalente discreto desse sistema é dado por:

$$\begin{bmatrix} \mathbf{x}[n+1] \\ \mathbf{x}_w[n+1] \end{bmatrix} = \mathbf{\Phi}_w \begin{bmatrix} \mathbf{x}[n] \\ \mathbf{x}_w[n] \end{bmatrix} + \mathbf{\Gamma}_w u[n] \quad (71)$$

$$\mathbf{y}[n] = \begin{bmatrix} \mathbf{C} & \mathbf{0} \end{bmatrix} \begin{bmatrix} \mathbf{x}[n] \\ \mathbf{x}_w[n] \end{bmatrix} \quad (72)$$

O ganho de realimentação de estados \mathbf{K} é obtido a partir de $\mathbf{\Phi}$ e $\mathbf{\Gamma}$ não aumentados. O par $(\mathbf{\Phi}_w, \mathbf{\Gamma}_w)$ não é controlável. A intenção não é controlar $\mathbf{w}[n]$, apenas rejeitá-lo.

Pode-se projetar um observador em tempo discreto para, além de observar os estados que serão realimentados, observar a perturbação $\hat{\mathbf{w}}[n]$ e cancelá-la. Portanto, para o cálculo do ganho do

Projeto a partir de ...

Matriz de ...

Discretização de ...

Controlabilidade e ...

Princípio da Separação

Problema de ...

Sistemas com ...

Atrasos

Homepage

Página de Rosto



Página 53 de 63

Voltar

Full Screen

Fechar

Desistir



estimador \mathbf{L} , é necessário utilizar as matrizes aumentadas Φ_w e Γ_w .

O diagrama de blocos em tempo discreto equivalente é apresentado na Figura 22.

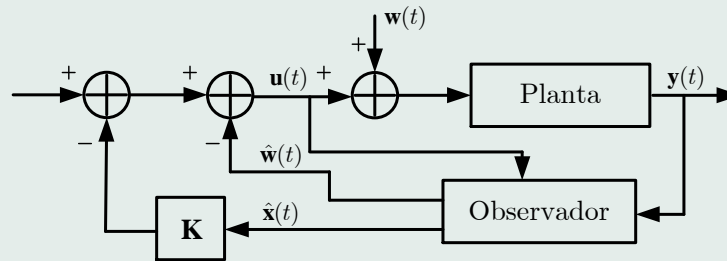


Figure 22: Sistema em tempo discreto com cancelamento de perturbação modelada.

[Homepage](#)[Página de Rosto](#)[Página 54 de 63](#)[Voltar](#)[Full Screen](#)[Fechar](#)[Desistir](#)



🔗 **Exemplo 3:** Considere o sistema dada por

$$G(s) = \frac{Y(s)}{U(s)} = \frac{1}{s(s + 0,7)}$$

Projete um controlador digital por realimentação de estados de forma que o sistema em malha fechada apresente $w_n = 3,5$; $\zeta = 0,7$ para os polos dominantes. Considere $f_s = 10\text{Hz}$ e que o sistema tenha um integrador para garantir erro nulo em regime estacionário para entrada degrau, sendo que o polo adicional em malha fechada deve ficar em $s = -2,5$. Assuma que há uma perturbação senoidal com amplitude unitária e frequência de 15 RPM. Projete um controlador por realimentação de estados, assumindo que os estados serão estimados por um observador na forma preditor, que também deve observar a perturbação para ser cancelada.

Solução: Define-se $x_1 = \dot{y}$ e $x_2 = y$. Assim, o sistema em espaço

Projeto a partir de...

Matriz de...

Discretização de...

Controlabilidade e...

Princípio da Separação

Problema de...

Sistemas com...

Atrasos

Homepage

Página de Rosto



Página 55 de 63

Voltar

Full Screen

Fechar

Desistir



de estados é representado como:

$$\begin{bmatrix} \dot{x}_1 \\ \dot{x}_2 \end{bmatrix} = \begin{bmatrix} -0,7 & 0 \\ 1 & 0 \end{bmatrix} \cdot \begin{bmatrix} x_1 \\ x_2 \end{bmatrix} + \begin{bmatrix} 1 \\ 0 \end{bmatrix} u; \quad y = [0 \ 1] \cdot \begin{bmatrix} x_1 \\ x_2 \end{bmatrix}$$

Se $w(t) = \sin(\omega_0 t)$ é o sinal de perturbação, então $\dot{w}(t) = -\omega_0^2 w(t)$. Portanto, a perturbação é modelada como:

$$\underbrace{\begin{bmatrix} \dot{w}(t) \\ \ddot{w}(t) \end{bmatrix}}_{\dot{\mathbf{x}}_w} = \underbrace{\begin{bmatrix} 0 & 1 \\ -\omega_0^2 & 0 \end{bmatrix}}_{\mathbf{A}_w} \underbrace{\begin{bmatrix} w(t) \\ \dot{w}(t) \end{bmatrix}}_{\mathbf{x}_w}$$

$$w(t) = [1 \ 0] \cdot \mathbf{x}_w$$

O restante do exercício será resolvido diretamente no Matlab:

```
clear all; clc; close all;
fs=10; Ts=1/fs;
A = [-0.7 0; 1 0]; B = [1; 0]; C = [0 1]; D = 0;
[Phi, Gamma] = c2d(A,B,Ts);
Phi_ = [Phi zeros(2,1); -C 1]; Gamma_ = [Gamma; 0]; %Sist. aumentado com Int.
```

[Homepage](#)[Página de Rosto](#)[◀](#)[▶](#)[◀](#)[▶](#)[Página 56 de 63](#)[Voltar](#)[Full Screen](#)[Fechar](#)[Desistir](#)



Projeto a partir de...

Matriz de...

Discretização de...

Controlabilidade e...

Princípio da Separação

Problema de...

Sistemas com...

Atrasos

Homepage

Página de Rosto



Página 57 de 63

Voltar

Full Screen

Fechar

Desistir

```
%Polos do sist. de controle em MF
wn = 3.5; zeta = 0.7; s1 = wn*(-zeta+j*sqrt(1-zeta^2));
p_c = exp([s1; s1'; -2.5]*Ts); %Polos do sist. de controle em MF
wn2 = 10.0; xsi2 = 0.7; s2 = wn2*(-xsi2+j*sqrt(1-xsi2^2));
wn3 = 7.0; xsi3 = 0.99; s3 = wn3*(-xsi3+j*sqrt(1-xsi3^2));
p_o = exp([s2; s2';s3; s3']*Ts); %Polos do sist. observador completo
K = place(Phi_,Gamma_,p_c); % Projeto do Controlador
% Observador aumentado para rejeitar distúrbio
w0 = 15*2*pi/60; %RPM to rad/s
%x_aum = [x1; x2; w ; \dot w]
A_d = [0 1; -w0^2 0]; C_d = [1 0];
A_aum = [A B*C_d; zeros(2) A_d];
B_aum = [B; zeros(2,1)];
[Phi_aum, Gamma_aum] =c2d(A_aum,B_aum,Ts);
C_aum = [C , zeros(1,2)];
L = place(Phi_aum',C_aum',p_o)';
sim('SIM_EX3_CHAP_DIST_2_INT')
% Código de geração de gráficos foi omitido
```

O digrama de simulação é apresentado na Figura 23. O código do bloco Matlab Function é apresentado a seguir:

```
function [u, x_chap_1, x_chap_2,w_out] = fcn(r, y, K, L, Phi_aum, ...
Gamma_aum, C_aum)
%#codegen
```



```
global x_chap_ant, global w_chap, global v;  
w_out = w_chap;  
Ki = -K(3);  
u = -K(1:2)*x_chap_ant(1:2)+Ki*v- w_chap;  
v = v+(r - y);  
y_chap = C_aum*x_chap_ant;  
x_chap = Phi_aum*x_chap_ant+ ...  
Gamma_aum*u + L*(y - y_chap);  
x_chap_1 = x_chap(1); x_chap_2 = x_chap(2);  
w_chap = x_chap(3);  
x_chap_ant = x_chap;
```

- Projeto a partir de...
- Matriz de...
- Discretização de...
- Controlabilidade e...
- Princípio da Separação
- Problema de...
- Sistemas com...

Os resultados obtidos são apresentados na Figura 24.

- Atrasos
- Homepage
- Página de Rosto
- Navigation buttons (back, forward, search)
- Página 58 de 63
- Voltar
- Full Screen
- Fechar
- Desistir

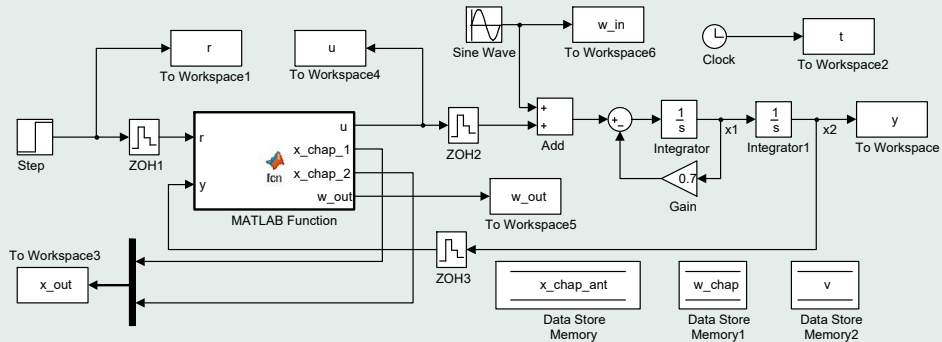


Figure 23: Diagrama de simulação do Exemplo .3.



Projeto a partir de...

Matriz de...

Discretização de...

Controlabilidade e...

Princípio da Separação

Problema de...

Sistemas com...

Atrasos

Homepage

Página de Rosto



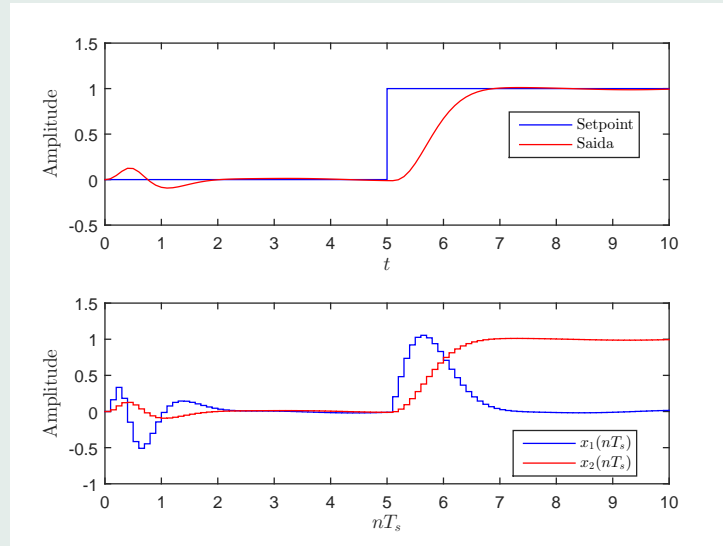
Página 59 de 63

Voltar

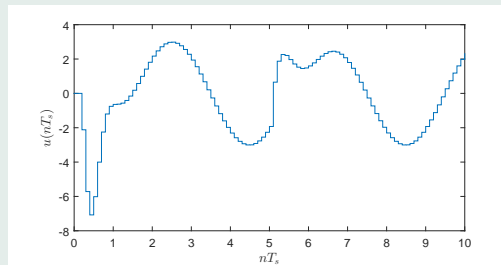
Full Screen

Fechar

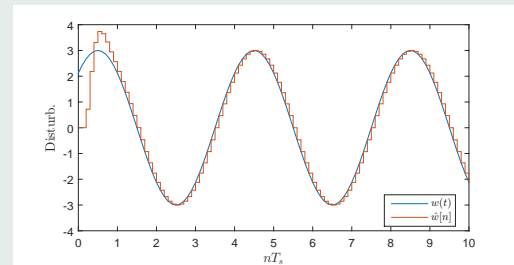
Desistir



(a) Saída e Estados



(b) Sinal de Controle



(c) Sinal de Perturbação



8. Atrasos

Dois tipos de atrasos podem ser considerados: atrasos nos sensores e atrasos nos atuadores. A ideia aqui consiste em considerar essas formas de atraso no modelo em espaço de estados e, conseqüentemente, na síntese de controladores. Será tratado apenas o caso SISO.

Na Figura 25 é apresentado o caso em que o sensor apresenta um atraso.

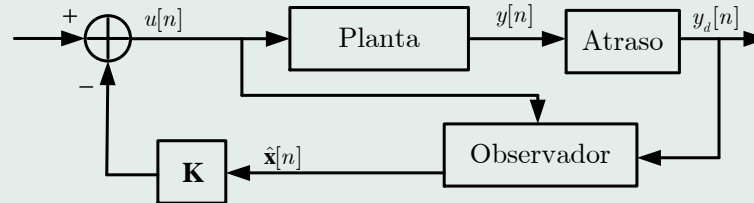


Figure 25: Sistema com atraso no sensor.

Pode-se incorporar as saídas atrasadas como estados do sistema, e calcular tanto \mathbf{K} quanto \mathbf{L} usando o sistema aumentado.

Projeto a partir de...

Matriz de...

Discretização de...

Controlabilidade e...

Princípio da Separação

Problema de...

Sistemas com...

Atrasos

Homepage

Página de Rosto

◀

▶

◀

▶

Página 60 de 63

Voltar

Full Screen

Fechar

Desistir



O modelo para um ciclo de atraso é dado por $y_{1d}[n + 1] = y[n]$. Para dois ciclos, $y_{2d}[n + 1] = y_{1d}[n]$, e assim por diante.

✎ **Exemplo 4:** Suponha que o sensor é afetado por um atraso de 3 amostras. O sistema aumentado é dado por

$$\begin{bmatrix} \mathbf{x}[n + 1] \\ y_{1d}[n + 1] \\ y_{2d}[n + 1] \\ y_{3d}[n + 1] \end{bmatrix} = \begin{bmatrix} \Phi & \mathbf{0} & \mathbf{0} & \mathbf{0} \\ \mathbf{C} & 0 & 0 & 0 \\ \mathbf{0} & 1 & 0 & 0 \\ \mathbf{0} & 0 & 1 & 0 \end{bmatrix} \begin{bmatrix} \mathbf{x}[n] \\ y_{1d}[n] \\ y_{2d}[n] \\ y_{3d}[n] \end{bmatrix} + \begin{bmatrix} \Gamma \\ 0 \\ 0 \\ 0 \end{bmatrix} u[n]$$

$$y_d[n] = \begin{bmatrix} \mathbf{0} & 0 & 0 & 1 \end{bmatrix} \begin{bmatrix} \mathbf{x}[n] \\ y_{1d}[n] \\ y_{2d}[n] \\ y_{3d}[n] \end{bmatrix},$$

onde y_d é a saída atrasada por três ciclos.

No esquema da Figura 26 o atraso é considerado no elemento

Projeto a partir de...

Matriz de...

Discretização de...

Controlabilidade e...

Princípio da Separação

Problema de...

Sistemas com...

Atrasos

Homepage

Página de Rosto

◀

▶

◀

▶

Página 61 de 63

Voltar

Full Screen

Fechar

Desistir

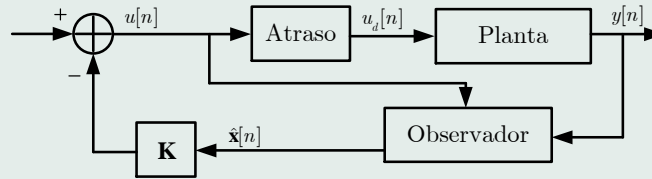



Figure 26: Sistema com atraso no atuador.

Neste caso, pode-se incorporar a entrada de controle atrasada como um estado do sistema, e calcular tanto \mathbf{K} quanto \mathbf{L} usando o sistema aumentado.

 **Exemplo 5:** Suponha que o atuador é afetado por um atraso

Projeto a partir de ...

Matriz de ...

Discretização de ...

Controlabilidade e ...

Princípio da Separação

Problema de ...

Sistemas com ...

Atrasos

Homepage

Página de Rosto



Página 62 de 63

Voltar

Full Screen

Fechar

Desistir



de 3 amostras. O sistema aumentado é dado por

$$\begin{bmatrix} \mathbf{x}[n+1] \\ u_{1d}[n+1] \\ u_{2d}[n+1] \\ u_{3d}[n+1] \end{bmatrix} = \begin{bmatrix} \Phi & \mathbf{0} & \mathbf{0} & \Gamma \\ \mathbf{0} & 0 & 0 & 0 \\ \mathbf{0} & 1 & 0 & 0 \\ \mathbf{0} & 0 & 1 & 0 \end{bmatrix} \begin{bmatrix} \mathbf{x}[n] \\ u_{1d}[n] \\ u_{2d}[n] \\ u_{3d}[n] \end{bmatrix} + \begin{bmatrix} 0 \\ 1 \\ 0 \\ 0 \end{bmatrix} u[n]$$
$$y[n] = [\mathbf{C} \ 0 \ 0 \ 0] \begin{bmatrix} \mathbf{x}[n] \\ u_{1d}[n] \\ u_{2d}[n] \\ u_{3d}[n] \end{bmatrix}$$

[Homepage](#)[Página de Rosto](#)[Página 63 de 63](#)[Voltar](#)[Full Screen](#)[Fechar](#)[Desistir](#)